AMS subject classification: 49J20, 65N30

Априорные оценки ошибки P_0^2 – P_1 смешанных методов конечных элементов для класса нелинейных параболических уравнений *

Ч. Лиу 1 , Т. Хоу 2 , Ж. Венг 3

Английская версия этой статьи печатается в журнале "Numerical Analysis and Applications" N = 4, Vol. 14, 2021.

Лиу Ч., Хоу Т., Венг Ж. Априорные оценки ошибки P_0^2 – P_1 смешанных методов конечных элементов для класса нелинейных параболических уравнений // Сиб. журн. вычисл. математики / РАН. Сиб. отд-ние. — Новосибирск, 2021. — Т. 24, N $ext{ }^{\circ}$ 4. — С. 409–424.

В данной статье мы рассматриваем P_0^2 – P_1 смешанные конечно-элементные аппроксимации класса нелинейных параболических уравнений. Используется неявная схема Эйлера для временной дискретизации. Во-первых, определяется новая смешанная проекция и доказываются соответствующие априорные оценки ошибки. Во-вторых, получаются оптимальные априорные оценки ошибки для переменной давления и переменной скорости. Наконец, представлен численный пример для проверки теоретических результатов.

DOI: 10.15372/SJNM20210405

Ключевые слова: нелинейные параболические уравнения, P_0^2 – P_1 смешанный метод конечных элементов, априорные оценки ошибки, квадратное интегрируемое пространство.

Liu Ch., Hou T., and Weng Zh. A priori error estimates of P_0^2 – P_1 mixed finite element methods for a class of nonlinear parabolic equations // Siberian J. Num. Math. / Sib. Branch of Russ. Acad. of Sci. — Novosibirsk, 2021. — Vol. 24, $\mathbb{N} = 4$. — P. 409–424.

In this paper, we consider $P_0^2-P_1$ mixed finite element approximations of a class of nonlinear parabolic equations. The backward Euler scheme for temporal discretization is used. Firstly, a new mixed projection is defined and the related a priori error estimates are proved. Secondly, optimal a priori error estimates for pressure variable and velocity variable are derived. Finally, a numerical example is presented to verify the theoretical results.

Keywords: nonlinear parabolic equations, P_0^2 - P_1 mixed finite element method, a priori error estimates, square integrable function space.

¹College of Science, Hunan University of Science and Engineering, Yongzhou, 425199, Hunan, China

²School of Mathematics and Statistics, Beihua University, Jilin, 132013, Jilin, China

³School of Mathematics Science, Huaqiao University, Quanzhou, 362021, Fujian, China E-mails: liuchunmei8080@qq.com, 441808755@qq.com (Ч. Лиу), htlchb@163.com (Т. Хоу), zfwmath@163.com (Ж. Венг)

^{*}Работа первого автора поддержана Национальным фондом естественных наук Китая (№ 11901189), Ключевым проектом Департамента образования провинции Хунань (№ 19А191) и программой прикладных дисциплин Хунаньского университета науки и техники. Работа второго автора поддержана Научно-техническим исследовательским проектом Департамента образования провинции Цзилинь (№ ЈЈКН20190634КЈ). Работа третьего автора поддержана Национальным фондом естественных наук Китая (№ 11701197) и Программой для учителей молодого и среднего возраста в области науки и технологий Университета Хуацяо (№ ZQN-YX502).

1. Введение

Смешанные методы конечных элементов, в которых два пространства используются для аппроксимации двух различных переменных, широко используются для решения уравнений в частных производных. Обычно вторая переменная вводится, поскольку она представляет интерес с физической точки зрения и обычно связана с некоторыми производными исходной переменной. Математический анализ и применения смешанных методов конечных элементов получили широкое развитие начиная с 1970-х годов. Общий анализ этого типа методов был впервые разработан Брецци [1]. Мы также отсылаем читателя к книге [3].

С развитием метода конечных элементов были предложены некоторые новые смешанные методы конечных элементов. Пани и Гейрвезер [15] представили H^1 -смешанный метод конечных элементов Галеркина для линейных параболических и параболических интегро-дифференциальных уравнений. Пехливанов с соавторами [16] разработали смешанный метод конечных элементов наименьших квадратов для решения эллиптических задач и обсудили априорные оценки ошибки. Чен и Чен [6] разработали P_0^2 - P_1 смешанный метод конечных элементов для решения эллиптических задач. По сравнению с классическим смешанным методом конечных элементов Равьяра-Тома, скорость $P_0^2 - P_1$ смешанного метода конечных элементов не только принадлежит пространству функций, интегрируемых с квадратом вместо классического $H(\operatorname{div};\Omega)$ пространства, но также требует меньшей регулярности и меньших степеней свободы. Оба метода имеют одинаковую скорость сходимости в L^2 -норме. Однако скорость сходимости L^2 -нормы давления P_0^2 P_1 смешанного метода конечных элементов на порядок выше, чем у смешанного метода конечных элементов Равьяра-Тома самого низкого порядка. Венг с соавторами [25] рассматривали P_0^2 – P_1 смешанные конечно-элементные аппроксимации Кранка–Николсон линейных параболических задач. Ши с соавторами [19–21] применили P_0^2 – P_1 смешанный метод конечных элементов для решения нелинейных параболических уравнений и нелинейных уравнений Шредингера.

В последние годы было разработано множество численных методов решения нелинейных параболических уравнений (см., например, [5, 9, 11, 12, 14]). Кэннон и Линь [5] исследовали априорные оценки ошибки полудискретных и конечно-элементных аппроксимаций Кранка-Николсон решений нелинейных уравнений диффузии с памятью. Эрикссон и Джонсон [9] обсудили применение адаптивных методов конечных элементов для параболических задач к классу нелинейных скалярных задач. Гарсия [11] получил оценки L^2 -ошибки полудискретных смешанных методов Равьяра—Тома для квазилинейных параболических уравнений второго порядка. Затем Гарсия [12] проанализировал полностью дискретную схему. Ни и Томе [14] рассмотрели конечно-элементную аппроксимацию с сосредоточенными массами к нелинейной параболической задаче второго порядка и обсудили априорные оценки ошибки. Также имеются работы по двухсеточному методу в сочетании с различными численными методами для нелинейных параболических уравнений (см., например, [4, 8, 24]). Доусон с соавторами [8] представили двухсеточную конечно-разностную схему для нелинейных параболических уравнений. Ву и Аллен [24] разработали двухшаговый алгоритм с использованием идеи двух сеток для полулинейных уравнений реакции-диффузии с расширенным смешанным методом конечных элементов. Чен и Чен [4] рассмотрели двухсеточный метод для смешанных методов конечных элементов для полностью нелинейных уравнений реакции-диффузии. Хоу с соавторами [13] представили двухсеточную дискретную схему P_0^2 - P_1 смешанных методов конечных элементов вместе со схемой Кранка-Николсон для нелинейных параболических уравнений.

Мы используем стандартное обозначение $W^{m,p}(\Omega)$ для пространств Соболева в области Ω и обозначаем через $L^s(J;W^{m,p}(\Omega))$ Банахово пространство всех L^s интегрируемых функций из J в $W^{m,p}(\Omega)$ с нормой $\|v\|_{L^s(J;W^{m,p}(\Omega))} = \left(\int_0^T \|v(t)\|_{W^{m,p}(\Omega)}^s dt\right)^{\frac{1}{s}}$ для $s\in [1,\infty)$ и стандартной модификацией для $s=\infty$. Для простоты представления $\|v\|_{L^s(J;W^{m,p}(\Omega))}$ обозначим как $\|v\|_{L^s(W^{m,p})}$. Аналогичным образом можно определить пространства $H^1(J;W^{m,p}(\Omega))$ и $C^k(J;W^{m,p}(\Omega))$. Кроме того, C обозначает общую положительную постоянную, не зависящую от h и Δt , где h— пространственный размер сетки и Δt — шаг по времени.

Рассмотрим следующие нелинейные параболические уравнения:

$$y_t - \operatorname{div}(a(y)\nabla y) = f(y), \quad x \in \Omega, \ t \in J,$$
 (1.1)

$$y(x,t) = 0, \quad x \in \partial\Omega, \ t \in J,$$
 (1.2)

$$y(x,0) = y_0(x), \quad x \in \Omega, \tag{1.3}$$

где $\Omega \subset \mathbf{R}^2$ — выпуклая многоугольная область с границей $\partial \Omega$, J=(0,T], f(y)=f(y,x,t), a(y)=a(y,x) и $y_0(x)\in H^2(\Omega)$ — три заданные действительные функции на Ω . Сделаем следующие предположения:

- (K_1) имеются две постоянные: c_1 и $c_2 > 0$, удовлетворяющие $c_1 \le a(y,x) \le c_2$ для любого вектора $x \in \Omega$;
 - (K_2) существует положительная постоянная M такая, что

$$|a'(y)| + |a''(y)| + |(a^{-1})'(y)| + |(a^{-1})''(y)| + |f'(y)| \le M, y \in \mathbf{R}.$$

В данной статье мы будем рассматривать априорные оценки ошибки P_0^2 – P_1 смешанных методов конечных элементов [6] вместе с неявной схемой Эйлера для нелинейной параболической задачи (1.1)–(1.3). В качестве эллиптической проекции, представленной в [23], мы введем новую смешанную эллиптическую проекцию, которая играет важную роль в восстановлении оптимальных априорных оценок ошибки.

Статья построена следующим образом. В пункте 2 будет построена полностью дискретизированная смешанная конечно-элементная аппроксимация задачи (1.1)–(1.3). В п. 3 мы определим новую смешанную эллиптическую проекцию и обсудим априорные оценки ошибок всех переменных. В п. 4 мы приведем численный пример для проверки теоретических результатов. В заключение, в последнем пункте, мы подведем итоги и представим возможное развитие.

2. Полностью дискретизированная смешанная конечно-элементная схема

В данном пункте мы дадим полностью дискретизированную P_0^2 – P_1 смешанную конечно-элементную аппроксимацию задачи (1.1)–(1.3).

Пусть $V = (L^2(\Omega))^2$ и $W = H_0^1(\Omega)$. Положим $p = a(y)\nabla y$ как в [6]. Тогда мы получим смешанную вариационную форму (1.1):

$$(a^{-1}(y) \boldsymbol{p}, \boldsymbol{v}) - (\nabla y, \boldsymbol{v}) = 0 \quad \forall \ \boldsymbol{v} \in \boldsymbol{V},$$
(2.1)

$$(y_t, w) + (\mathbf{p}, \nabla w) = (f(y), w) \quad \forall \ w \in W, \tag{2.2}$$

где (\cdot,\cdot) — скалярное произведение в $L^2(\Omega)$.

Пусть \mathcal{T}_h обозначает регулярную триангуляцию многоугольной области Ω , h_{τ} — диаметр элемента τ ($\tau \in \mathcal{T}_h$) и $h = \max h_{\tau}$. Пусть $\boldsymbol{V}_h \times W_h \subset \boldsymbol{V} \times W$ определяется следующей парой конечных элементов $P_0^2 - P_1$ [6, 22]:

$$V_h = \{ v_h = (v_{1h}, v_{2h}) \in V : (v_{1h}, v_{2h}) \mid_{\tau} \in P_0(\tau)^2 \ \forall \ \tau \in \mathcal{T}_h \},$$

$$W_h = \{ w_h \in C^0(\bar{\Omega}) \cap W : w_h \mid_{\tau} \in P_1(\tau) \ \forall \ \tau \in \mathcal{T}_h \}.$$

Прежде чем представить P_0^2 – P_1 смешанную конечно-элементную схему, введем три проекционных оператора. Сначала определим стандартную эллиптическую проекцию [7] $P_h: W \to W_h$, которая удовлетворяет для любого $\phi \in W$:

$$(\nabla(\phi - P_h\phi), \nabla w_h) = 0 \quad \forall \ w_h \in W_h, \tag{2.3}$$

$$\|\phi - P_h \phi\|_s \le Ch^{2-s} \|\phi\|_2, \quad s = 0, 1 \ \forall \ \phi \in H^2(\Omega).$$
 (2.4)

Затем определим стандартную L^2 проекцию [2] $\Pi_h: V \to V_h$, которая удовлетворяет для любого $q \in V$:

$$(\boldsymbol{q} - \Pi_h \boldsymbol{q}, \boldsymbol{v}_h) = 0 \quad \forall \ \boldsymbol{v}_h \in \boldsymbol{V}_h, \tag{2.5}$$

$$\|\Pi_h \mathbf{q}\|_{0,s} \le C \|\mathbf{q}\|_{0,s}, \quad 2 \le s \le +\infty,$$
 (2.6)

$$\|\mathbf{q} - \Pi_h \mathbf{q}\|_{0,s} \le Ch \|\mathbf{q}\|_{1,s} \quad \forall \ \mathbf{q} \in (W^{1,s}(\Omega))^2, \ 2 \le s \le +\infty.$$
 (2.7)

Наконец, определим новую смешанную эллиптическую проекцию $(\boldsymbol{P},Y) \in \boldsymbol{V}_h \times W_h$ следующим образом:

$$(a^{-1}(y)(\boldsymbol{p}-\boldsymbol{P}),\boldsymbol{v}_h) - (\nabla(y-Y),\boldsymbol{v}_h) = 0 \quad \forall \, \boldsymbol{v}_h \in \boldsymbol{V}_h,$$
(2.8)

$$(\boldsymbol{p} - \boldsymbol{P}, \nabla w_h) = 0 \quad \forall \ w_h \in W_h. \tag{2.9}$$

Для доказательства существования и единственности смешанной эллиптической проекции см. ссылку [3].

Теперь рассмотрим полностью дискретную смешанную конечно-элементную схему. Пусть $\Delta t > 0, \ N = T/\Delta t \in \mathbb{Z}$ и $t_n = n\Delta t, \ n \in \mathbb{Z}$. Также пусть

$$\psi^n = \psi^n(x) = \psi(x, t_n), \qquad \partial \psi^n = \frac{\psi^n - \psi^{n-1}}{\Delta t}.$$

Тогда полностью дискретная схема аппроксимации заключается в нахождении $(\boldsymbol{p}_h^n, y_h^n) \in \boldsymbol{V}_h \times W_h, n = 1, 2, \dots, N$, так что

$$(a^{-1}(y_h^n)\boldsymbol{p}_h^n,\boldsymbol{v}_h) - (\nabla y_h^n,\boldsymbol{v}_h) = 0 \quad \forall \ \boldsymbol{v}_h \in \boldsymbol{V}_h,$$
(2.10)

$$(\partial y_h^n, w_h) + (\boldsymbol{p}_h^n, \nabla w_h) = (f(y_h^n), w_h) \ \forall \ w_h \in W_h, \tag{2.11}$$

$$y_h^0 = Y^0(x), (2.12)$$

где Y^0 — эллиптическая проекция $y_0(x)$.

Для доказательства существования и единственности решения нелинейной алгебраической системы (2.10)–(2.12) см. ссылку [2].

3. Оптимальные априорные оценки ошибки

Получим оптимальные априорные оценки ошибки задачи (1.1)–(1.3). Сначала напомним результат Грисварда [10].

Лемма 3.1 [10]. Для каждой функции $F \in L^2(\Omega)$ решение ϕ для

$$-\operatorname{div}(a(y^n)\nabla\phi) = F \operatorname{B}\Omega, \quad \phi|_{\partial\Omega} = 0, \tag{3.1}$$

принадлежит $H_0^1(\Omega) \cap H^2(\Omega)$. Кроме того, существует положительная постоянная C такая, что

$$\|\phi\|_2 < C\|F\|. \tag{3.2}$$

Далее обсудим априорные оценки ошибки между точными решениями и их смешанными эллиптическими проекциями в следующих двух леммах.

Лемма 3.2. Пусть (P,Y) — новая смешанная эллиптическая проекция, определенная в (2.8), (2.9), a (p,y) — решение (2.1), (2.2) соответственно. Тогда для каждого $1 \le n \le N$ мы имеем

$$\|\boldsymbol{p}^n - \boldsymbol{P}^n\| + \|\nabla(y^n - Y^n)\| \le Ch(\|y^n\|_2 + \|\boldsymbol{p}^n\|_1),$$
 (3.3)

$$||y^n - Y^n|| \le Ch^2(||y^n||_2 + ||\boldsymbol{p}^n||_1). \tag{3.4}$$

Доказательство. Возьмем $t = t_n$ в (2.8), (2.9). Тогда мы имеем

$$(a^{-1}(y^n)(\boldsymbol{p}^n - \boldsymbol{P}^n), \boldsymbol{v}_h) - (\nabla(y^n - Y^n), \boldsymbol{v}_h) = 0 \quad \forall \ \boldsymbol{v}_h \in \boldsymbol{V}_h,$$
(3.5)

$$(\mathbf{p}^n - \mathbf{P}^n, \nabla w_h) = 0 \quad \forall \ w_h \in W_h. \tag{3.6}$$

Заметим, что $\nabla W_h \subset V_h$. Используя (2.5), перепишем (3.5), (3.6) следующим образом:

$$(a^{-1}(y^n)(\Pi_h \boldsymbol{p}^n - \boldsymbol{P}^n), \boldsymbol{v}_h) - (\nabla(P_h y^n - Y^n), \boldsymbol{v}_h)$$

$$= (\nabla (y^n - P_h y^n), \boldsymbol{v}_h) - (a^{-1}(y^n)(\boldsymbol{p}^n - \Pi_h \boldsymbol{p}^n), \boldsymbol{v}_h) \quad \forall \ \boldsymbol{v}_h \in \boldsymbol{V}_h, \quad (3.7)$$

$$(\Pi_h \mathbf{p}^n - \mathbf{P}^n, \nabla w_h) = 0 \quad \forall \ w_h \in W_h. \tag{3.8}$$

Выберем $\boldsymbol{v}_h = \Pi_h \boldsymbol{p}^n - \boldsymbol{P}^n$ и $w_h = P_h y^n - Y^n$ в (3.7) и (3.8) соответственно. Затем сложим два полученных уравнения и получим

$$||a^{-\frac{1}{2}}(y^n)(\Pi_h \mathbf{p}^n - \mathbf{P}^n)||^2 = (\nabla(y^n - Y^n) - a^{-1}(y^n)(\mathbf{p}^n - \Pi_h \mathbf{p}^n), \Pi_h \mathbf{p}^n - \mathbf{P}^n).$$
(3.9)

В силу (3.9), неравенства Коши, предположения относительно a^{-1} , (2.4) и (2.7) мы имеем

$$\|\Pi_h \mathbf{p}^n - \mathbf{P}^n\| \le Ch(\|\mathbf{p}^n\|_1 + \|y^n\|_2).$$
 (3.10)

Положим $\boldsymbol{v}_h = \nabla (P_h y^n - Y^n)$ в (3.7). Тогда, с использованием (2.4), (2.7), неравенства Коши и предположения по a, найдем, что

$$\|\nabla (P_h y^n - Y^n)\| \le Ch(\|\boldsymbol{p}^n\|_1 + \|y^n\|_2) + C\|\Pi_h \boldsymbol{p}^n - \boldsymbol{P}^n\|. \tag{3.11}$$

Пусть ϕ — решение (3.1) при $F = y^n - Y^n$. Используя (3.1), формулу Грина, (2.4), (2.7), (3.5), (3.6), неравенство Коши и предположение относительно a, мы видим, что

$$||y^{n} - Y^{n}||^{2} = (y^{n} - Y^{n}, -\operatorname{div}(a(y^{n})\nabla\phi)) = (a(y^{n})\nabla\phi, \nabla(y^{n} - Y^{n}))$$

$$= (\nabla(y^{n} - Y^{n}), a(y^{n})\nabla\phi - \Pi_{h}(a(y^{n})\nabla\phi)) + (\mathbf{p}^{n} - \mathbf{P}^{n}, \nabla(\phi - P_{h}\phi)) +$$

$$(a^{-1}(y^{n})(\mathbf{p}^{n} - \mathbf{P}^{n}), \Pi_{h}(a(y^{n})\nabla\phi) - a(y^{n})\nabla\phi)$$

$$\leq Ch||\nabla(y^{n} - Y^{n})|| \cdot ||a||_{1,\infty}||\phi||_{2} + Ch||\mathbf{p}^{n} - \mathbf{P}^{n}|| \cdot ||\phi||_{2}$$

$$\leq Ch(||\nabla(y^{n} - Y^{n})|| + ||\mathbf{p}^{n} - \mathbf{P}^{n}||)||\phi||_{2}.$$
(3.12)

Объединив (2.4), (2.7), (3.2), (3.10)–(3.12) с неравенством треугольника, мы завершаем доказательство леммы.

Лемма 3.3. Пусть (P, Y) — новая смешанная эллиптическая проекция, определенная e(2.8), (2.9), u пусть (p, y) — решение (2.1), (2.2) соответственно. Тогда для каждого $1 \le n \le N$ мы имеем

$$\|\partial(\mathbf{p}^{n} - \mathbf{P}^{n})\| + \|\nabla\partial(y^{n} - Y^{n})\| \le C\|\nabla\partial(y^{n} - P_{h}y^{n})\| + C\|\partial(\mathbf{p}^{n} - \Pi_{h}\mathbf{p}^{n})\| + Ch(\|\mathbf{p}^{n-1}\|_{1} + \|y^{n-1}\|_{2}),$$
(3.13)

$$\|\partial(y^n - Y^n)\| \le Ch(\|\nabla\partial(y^n - P_h y^n)\| + \|\partial(\mathbf{p}^n - \Pi_h \mathbf{p}^n)\|) + Ch^2(\|\mathbf{p}^{n-1}\|_1 + \|y^{n-1}\|_2).$$
 (3.14)

Доказательство. Возьмем разность по времени (3.5), (3.6) для получения

$$\left(\frac{a^{-1}(y^n)(\boldsymbol{p}^n - \boldsymbol{P}^n) - a^{-1}(y^{n-1})(\boldsymbol{p}^{n-1} - \boldsymbol{P}^{n-1})}{\Delta t}, \boldsymbol{v}_h\right) - (\nabla \partial (y^n - Y^n), \boldsymbol{v}_h) = 0 \quad \forall \ \boldsymbol{v}_h \in \boldsymbol{V}_h, \quad (3.15)$$

$$\left(\partial(\mathbf{p}^n - \mathbf{P}^n), \nabla w_h\right) = 0 \quad \forall \ w_h \in W_h. \tag{3.16}$$

Используя (2.5), перепишем (3.15), (3.16) следующим образом:

$$(a^{-1}(y^n)\partial(\Pi_h \mathbf{p}^n - \mathbf{P}^n), \mathbf{v}_h) - (\nabla\partial(P_h y^n - Y^n), \mathbf{v}_h)$$

$$= (\nabla\partial(y^n - P_h y^n), \mathbf{v}_h) - (a^{-1}(y^n)\partial(\mathbf{p}^n - \Pi_h \mathbf{p}^n), \mathbf{v}_h) -$$

$$\left(\frac{a^{-1}(y^n) - a^{-1}(y^{n-1})}{\Delta t} (\mathbf{p}^{n-1} - \mathbf{P}^{n-1}), \mathbf{v}_h\right) \quad \forall \, \mathbf{v}_h \in \mathbf{V}_h, \quad (3.17)$$

$$(\partial(\Pi_h \mathbf{p}^n - \mathbf{P}^n), \nabla w_h) = 0 \quad \forall \, w_h \in W_h. \quad (3.18)$$

Возьмем $\boldsymbol{v}_h = \partial(\Pi_h \boldsymbol{p}^n - \boldsymbol{P}^n)$ в (3.17) и $w_h = \partial(P_h y^n - Y^n)$ в (3.18) соответственно. Сложив два полученных уравнения, используя неравенство Коши и предположение относительно a, получим

$$\|\partial(\Pi_{h} \mathbf{p}^{n} - \mathbf{P}^{n})\| \leq C\|\nabla\partial(y^{n} - P_{h}y^{n})\| + C\|a^{-1}\|_{0,\infty}\|\partial(\mathbf{p}^{n} - \Pi_{h} \mathbf{p}^{n})\| + C\|a^{-1}\|_{1,\infty}\|y_{t}\|_{L^{\infty}(H^{2})}\|\mathbf{p}^{n-1} - \mathbf{P}^{n-1}\|,$$
(3.19)

где мы использовали

$$|a^{-1}(y^n) - a^{-1}(y^{n-1})| = |(a^{-1})'(y^{n^*})y_t(\beta^n)\Delta t| \le \Delta t ||a^{-1}||_{1,\infty} ||y_t||_{L^{\infty}(L^{\infty})},$$
(3.20)

где y^{n^*} расположено между y^n и y^{n-1} , β^n расположено между t_n и t_{n-1} .

Аналогичным образом возьмем $v_h = \nabla \partial (P_h y^n - Y^n)$ в (3.17). Тогда мы получим

$$\|\nabla \partial (P_h y^n - Y^n)\| \le C \|a^{-1}\|_{1,\infty} \|y_t\|_{L^{\infty}(L^{\infty})} \|\boldsymbol{p}^{n-1} - \boldsymbol{P}^{n-1}\| + C \|a^{-1}\|_{0,\infty} \|\partial (\boldsymbol{p}^n - \Pi_h \boldsymbol{p}^n)\| + C \|\nabla \partial (y^n - P_h y^n)\| + C \|a^{-1}\|_{0,\infty} \|\partial (\Pi_h \boldsymbol{p}^n - \boldsymbol{P}^n)\|.$$
(3.21)

Пусть ϕ — решение (3.1) при $F=\partial(y^n-Y^n)$. Используя (3.1), формулу Грина и (3.15), (3.16), найдем, что

$$\|\partial(y^{n} - Y^{n})\|^{2} = (\nabla \partial(y^{n} - Y^{n}), a(y^{n}) \nabla \phi) = (\nabla \partial(y^{n} - Y^{n}), a(y^{n}) \nabla \phi - \Pi_{h}(a(y^{n}) \nabla \phi)) +$$

$$\left(\frac{a^{-1}(y^{n})(\boldsymbol{p}^{n} - \boldsymbol{P}^{n}) - a^{-1}(y^{n-1})(\boldsymbol{p}^{n-1} - \boldsymbol{P}^{n-1})}{\Delta t}, \Pi_{h}(a(y^{n}) \nabla \phi)\right)$$

$$= (a^{-1}(y^{n}) \partial(\boldsymbol{p}^{n} - \boldsymbol{P}^{n}), \Pi_{h}(a(y^{n}) \nabla \phi) - a(y^{n}) \nabla \phi) +$$

$$(\partial(\boldsymbol{p}^{n} - \boldsymbol{P}^{n}), \nabla(\phi - P_{h}\phi)) + (\nabla \partial(y^{n} - Y^{n}), a(y^{n}) \nabla \phi - \Pi_{h}(a(y^{n}) \nabla \phi)) +$$

$$\left(\frac{a^{-1}(y^{n}) - a^{-1}(y^{n-1})}{\Delta t}(\boldsymbol{p}^{n-1} - \boldsymbol{P}^{n-1}), \Pi_{h}(a(y^{n}) \nabla \phi) - a(y^{n}) \nabla \phi\right) +$$

$$\left(\frac{a^{-1}(y^{n}) - a^{-1}(y^{n-1})}{\Delta t}(\boldsymbol{p}^{n-1} - \boldsymbol{P}^{n-1}), a(y^{n}) \nabla \phi\right). \tag{3.22}$$

В силу (3.5) и формулы Грина разложим последний член (3.22) следующим образом:

$$\left(\frac{a^{-1}(y^n) - a^{-1}(y^{n-1})}{\Delta t} (\boldsymbol{p}^{n-1} - \boldsymbol{P}^{n-1}), a(y^n) \nabla \phi\right) \\
= \left(a^{-1}(y^{n-1}) (\boldsymbol{p}^{n-1} - \boldsymbol{P}^{n-1}), \frac{a(y^{n-1}) - a(y^n)}{\Delta t} \nabla \phi - \Pi_h \left(\frac{a(y^{n-1}) - a(y^n)}{\Delta t} \nabla \phi\right)\right) + \left(\nabla (y^{n-1} - Y^{n-1}), \Pi_h \left(\frac{a(y^{n-1}) - a(y^n)}{\Delta t} \nabla \phi\right) - \frac{a(y^{n-1}) - a(y^n)}{\Delta t} \nabla \phi\right) - \left(y^{n-1} - Y^{n-1}, \operatorname{div} \left(\frac{a(y^{n-1}) - a(y^n)}{\Delta t} \nabla \phi\right)\right). \tag{3.23}$$

Аналогично (3.20) мы видим, что

$$a(y^n) - a(y^{n-1}) = a'(\dot{y}^n)(y^n - y^{n-1}) = a'(\dot{y}^n)y_t(\beta^n)\Delta t, \tag{3.24}$$

где \dot{y}^n расположено между y^n и y^{n-1} .

Теперь используя неравенство Коши, (2.7), (3.20) и (3.22)–(3.24), найдем, что

$$\|\partial(y^{n} - Y^{n})\|^{2} \leq Ch\|a^{-1}\|_{0,\infty}\|\partial(\boldsymbol{p}^{n} - \boldsymbol{P}^{n})\| \cdot \|a\|_{1,\infty}\|\phi\|_{2} + Ch\|a\|_{1,\infty}\|\nabla\partial(y^{n} - Y^{n})\| \cdot \|\phi\|_{2} + Ch\|\partial(\boldsymbol{p}^{n} - \boldsymbol{P}^{n})\| \cdot \|\phi\|_{2} + Ch\|a^{-1}\|_{1,\infty}\|y_{t}\|_{L^{\infty}(L^{\infty})}\|\boldsymbol{p}^{n-1} - \boldsymbol{P}^{n-1}\| \cdot \|a\|_{1,\infty}\|\phi\|_{2} + Ch\|a^{-1}\|_{0,\infty}\|\boldsymbol{p}^{n-1} - \boldsymbol{P}^{n-1}\| \cdot \|a\|_{2,\infty}\|y_{t}\|_{L^{\infty}(W^{1,\infty})}\|\phi\|_{2} + Ch\|\nabla(y^{n-1} - Y^{n-1})\| \cdot \|a\|_{2,\infty}\|y_{t}\|_{L^{\infty}(W^{1,\infty})}\|\phi\|_{2} + C\|y^{n-1} - Y^{n-1}\| \cdot \|a\|_{2,\infty}\|y_{t}\|_{L^{\infty}(W^{1,\infty})}\|\phi\|_{2}.$$

$$(3.25)$$

Используя (2.4), (2.7), (3.2)–(3.4), (3.25), (3.19), (3.21) и неравенства треугольника, мы завершаем доказательство леммы.

Для удобства пусть

$$\boldsymbol{\xi}_{\boldsymbol{p}}^{n} = \boldsymbol{P}^{n} - \boldsymbol{p}_{h}^{n}, \quad \boldsymbol{\xi}_{y}^{n} = Y^{n} - y_{h}^{n}, \quad \boldsymbol{\eta}_{\boldsymbol{p}}^{n} = \boldsymbol{p}^{n} - \boldsymbol{P}^{n}, \quad \boldsymbol{\eta}_{y}^{n} = y^{n} - Y^{n}$$

для $n = 0, 1, 2, \dots, N$.

Перед проверкой сходимости полностью дискритизированной схемы (2.10)–(2.12) представим дискретное неравенство Гронуолла.

Лемма 3.4 [17]. Предположим, что $\{k_n\}$ и $\{\alpha_n\}$ — неотрицательные последовательности и последовательность ϕ_n удовлетворяют:

$$\phi_0 \le g_0, \quad \phi_n \le g_0 + \sum_{l=0}^{n-1} \alpha_l + \sum_{l=0}^{n-1} k_l \phi_l, \quad n \ge 1,$$

где $g_0 \ge 0$. Тогда последовательность $\{\phi_n\}$ удовлетворяет:

$$\phi_n \le \left(g_0 + \sum_{l=0}^{n-1} \alpha_l\right) \exp\left(\sum_{l=0}^{n-1} k_l\right), \quad n \ge 1.$$

Теорема 3.1. Пусть у и y_h^n — решения (2.1), (2.2) и (2.10)–(2.12) соответственно. Предположим, что $y \in L^{\infty}(H^2)$, $y_t \in L^2(H^2) \cap L^{\infty}(W^{1,\infty})$, $y_{tt} \in L^2(L^2)$, $\mathbf{p} \in L^{\infty}(H^1)$, $\mathbf{p}_t \in L^{\infty}(H^1) \cap L^{\infty}(L^{\infty})$. Тогда для достаточно малого Δt и $1 \leq n \leq N$ мы имеем

$$||y^n - y_h^n|| \le C(\Delta t + h^2).$$
 (3.26)

Доказательство. С использованием (2.1), (2.2) и (2.8)–(2.11), имеем следующие уравнения для ошибки:

$$(a^{-1}(y_h^n)\xi_{p}^n, \mathbf{v}_h) - (\nabla \xi_u^n, \mathbf{v}_h) = -((a^{-1}(y^n) - a^{-1}(y_h^n))\mathbf{P}^n, \mathbf{v}_h) \quad \forall \ \mathbf{v}_h \in \mathbf{V}_h,$$
(3.27)

$$(\partial \xi_{\boldsymbol{y}}^{n}, w_{h}) + (\xi_{\boldsymbol{y}}^{n}, \nabla w_{h}) = (f(\boldsymbol{y}^{n}) - f(y_{h}^{n}) + \partial \boldsymbol{y}^{n} - y_{t}^{n} - \partial \eta_{\boldsymbol{y}}^{n}, w_{h}) \quad \forall \ w_{h} \in W_{h}.$$
 (3.28)

Возьмем $\pmb{v}_h = \pmb{\xi}_{\pmb{p}}^n$ в (3.27) и $w_h = \pmb{\xi}_y^n$ в (3.28) соответственно. Сложив два полученных уравнения, получим

$$(\partial \xi_{y}^{n}, \xi_{y}^{n}) + (a^{-1}(y_{h}^{n})\xi_{\mathbf{p}}^{n}, \xi_{\mathbf{p}}^{n}) = (f(y^{n}) - f(y_{h}^{n}), \xi_{y}^{n}) + (\partial y^{n} - y_{t}^{n}, \xi_{y}^{n}) - (\partial \eta_{y}^{n}, \xi_{y}^{n}) - ((a^{-1}(y^{n}) - a^{-1}(y_{h}^{n}))\mathbf{p}^{n}, \xi_{\mathbf{p}}^{n}).$$

$$(3.29)$$

Легко убедиться в том, что

$$(\partial \xi_y^n, \xi_y^n) \ge \frac{1}{2\Delta t} (\|\xi_y^n\|^2 - \|\xi_y^{n-1}\|^2). \tag{3.30}$$

Умножив Δt и суммируя по n от 1 до l ($1 \le l \le N$) в обеих частях (3.29), используя (3.30), предположение относительно a и $\xi_y^0 = 0$, мы имеем

$$\|\xi_{y}^{l}\|^{2} + \sum_{n=1}^{l} \|\xi_{p}^{n}\|^{2} \Delta t \leq C \sum_{n=1}^{l} \Delta t (f(y^{n}) - f(y_{h}^{n}), \xi_{y}^{n}) + C \sum_{n=1}^{l} \Delta t (\partial y^{n} - y_{t}^{n}, \xi_{y}^{n}) - C \sum_{n=1}^{l} \Delta t (\partial \eta_{y}^{n}, \xi_{y}^{n}) - C \sum_{n=1}^{l} \Delta t ((a^{-1}(y^{n}) - a^{-1}(y_{h}^{n})) \boldsymbol{P}^{n}, \xi_{p}^{n}) =: \sum_{i=1}^{4} I_{i}. \quad (3.31)$$

Теперь оценим члены в правой части (3.31) для I_1 , с использованием неравенства Коши, неравенства Юнга и предположения относительно f, мы заключаем, что

$$|I_1| = \left| C \sum_{n=1}^{l} \Delta t(f'(\hat{y}^n)(y^n - y_h^n), \xi_y^n) \right| \le C \sum_{n=1}^{l} \|\eta_y^n\|^2 \Delta t + C \sum_{n=1}^{l} \|\xi_y^n\|^2 \Delta t, \tag{3.32}$$

где \hat{y}^n расположено между y^n и y_h^n .

Для I_2 из результатов, представленных в [18], мы имеем

$$|I_2| \le C \sum_{n=1}^{l} \left(\int_{t_{n-1}}^{t_n} ||y_{tt}|| dt \right)^2 \Delta t + C \sum_{n=1}^{l} ||\xi_y^n||^2 \Delta t \le C(\Delta t)^2 ||y_{tt}||_{L^2(L^2)}^2 + C \sum_{n=1}^{l} ||\xi_y^n||^2 \Delta t. \quad (3.33)$$

Для I_3 из неравенства Коши и неравенства Юнга следует, что

$$|I_3| \le C \sum_{n=1}^l \|\partial \eta_y^n\|^2 \Delta t + C \sum_{n=1}^l \|\xi_y^n\|^2 \Delta t.$$
 (3.34)

Из (2.6), (3.10), обратного неравенства и неравенства треугольника следует, что

$$\|\boldsymbol{P}^{n}\|_{0,\infty} \leq \|\Pi_{h}\boldsymbol{p}^{n}\|_{0,\infty} + \|\Pi_{h}\boldsymbol{p}^{n} - \boldsymbol{P}^{n}\|_{0,\infty} \leq C\|\boldsymbol{p}^{n}\|_{0,\infty} + Ch^{-1}\|\Pi_{h}\boldsymbol{p}^{n} - \boldsymbol{P}^{n}\|$$

$$\leq C(\|\boldsymbol{p}\|_{L^{\infty}(L^{\infty})} + \|\boldsymbol{p}\|_{L^{\infty}(H^{1})} + \|y\|_{L^{\infty}(H^{2})}) \leq C. \tag{3.35}$$

Наконец, с использованием неравенства Коши, неравенства Юнга, (3.35) и предположения относительно a, оценим I_4 следующим образом:

$$|I_{4}| = \left| C \sum_{n=1}^{l} \Delta t \left(\left(a^{-1}(y^{n}) - a^{-1}(Y^{n}) \right) \boldsymbol{P}^{n} + \left(a^{-1}(Y^{n}) - a^{-1}(y_{h}^{n}) \right) \boldsymbol{P}^{n}, \xi_{\boldsymbol{p}}^{n} \right) \right|$$

$$\leq C \|a^{-1}\|_{1,\infty}^{2} \sum_{n=1}^{l} \|\boldsymbol{P}^{n}\|_{0,\infty}^{2} \left(\|\eta_{y}^{n}\|^{2} + \|\xi_{y}^{n}\|^{2} \right) \Delta t + \frac{1}{2} \sum_{n=1}^{l} \|\xi_{\boldsymbol{p}}^{n}\|^{2} \Delta t$$

$$\leq C \sum_{n=1}^{l} \left(\|\eta_{y}^{n}\|^{2} + \|\xi_{y}^{n}\|^{2} \right) \Delta t + \frac{1}{2} \sum_{n=1}^{l} \|\xi_{\boldsymbol{p}}^{n}\|^{2} \Delta t. \tag{3.36}$$

Теперь для достаточно малого Δt , объединив (3.31)–(3.34), (3.36) с дискретным неравенством Гронуолла (см. лемму 3.4), мы заключаем, что

$$\|\xi_{y}^{l}\|^{2} + \sum_{n=1}^{l} \|\xi_{\mathbf{p}}^{n}\|^{2} \Delta t \leq C(\Delta t)^{2} \|y_{tt}\|_{L^{2}(L^{2})}^{2} + C \sum_{n=1}^{l} (\|\eta_{y}^{n}\|^{2} + \|\partial \eta_{y}^{n}\|^{2}) \Delta t.$$
 (3.37)

Используя (3.4), (3.14), (3.37) и неравенство треугольника, завершим доказательство теоремы.

Теорема 3.2. Пусть (p,y) и (p_h^n, y_h^n) — решения (2.1), (2.2) и (2.10)—(2.12) соответственно. Предположим, что $y \in L^{\infty}(H^2)$, $y_t \in L^2(H^2) \cap L^{\infty}(W^{1,\infty})$, $y_{tt} \in L^2(L^2)$, $p \in L^{\infty}(H^1)$, $p_t \in L^{\infty}(H^1) \cap L^{\infty}(L^{\infty})$. Тогда для достаточно малого Δt и $1 \leq n \leq N$ мы имеем

$$\|\nabla(y^n - y_h^n)\| + \|\mathbf{p}^n - \mathbf{p}_h^n\| \le C(\Delta t + h). \tag{3.38}$$

Доказательство. Возьмем разность по времени (3.27) для получения

$$(a^{-1}(y_h^n)\partial \xi_{\mathbf{p}}^n, \mathbf{v}_h) - (\nabla \partial \xi_y^n, \mathbf{v}_h)$$

$$= -\left(\frac{\left(a^{-1}(y^n) - a^{-1}(y_h^n)\right) \mathbf{P}^n - \left(a^{-1}(y^{n-1}) - a^{-1}(y_h^{n-1})\right) \mathbf{P}^{n-1}}{\Delta t}, \mathbf{v}_h\right) - \left(\frac{a^{-1}(y_h^n) - a^{-1}(y_h^{n-1})}{\Delta t} \xi_{\mathbf{p}}^{n-1}, \mathbf{v}_h\right) \quad \forall \ \mathbf{v}_h \in \mathbf{V}_h.$$
(3.39)

Выберем $\boldsymbol{v}_h = \boldsymbol{\xi}_{\boldsymbol{p}}^n$ в (3.39) и $w_h = \partial \boldsymbol{\xi}_y^n$ в (3.28) соответственно. Сложим два полученных уравнения и получим

$$\|\partial \xi_{y}^{n}\|^{2} + \left(a^{-1}(y_{h}^{n})\partial \xi_{\mathbf{p}}^{n}, \xi_{\mathbf{p}}^{n}\right)$$

$$= -\left(\frac{\left(a^{-1}(y^{n}) - a^{-1}(y_{h}^{n})\right)\mathbf{P}^{n} - \left(a^{-1}(y^{n-1}) - a^{-1}(y_{h}^{n-1})\right)\mathbf{P}^{n-1}}{\Delta t}, \xi_{\mathbf{p}}^{n}\right) - \left(\partial \eta_{y}^{n}, \partial \xi_{y}^{n}\right) - \left(\frac{a^{-1}(y_{h}^{n}) - a^{-1}(y_{h}^{n-1})}{\Delta t} \xi_{\mathbf{p}}^{n-1}, \xi_{\mathbf{p}}^{n}\right) + (f(y^{n}) - f(y_{h}^{n}), \partial \xi_{y}^{n}) + (\partial y^{n} - y_{t}^{n}, \partial \xi_{y}^{n}).$$
(3.40)

Поскольку $y_h^0 = Y^0$, взяв n = 0 и $\boldsymbol{v}_h = \xi_{\boldsymbol{p}}^0$ в (3.27), мы получим

$$\left(a^{-1}(y_h^0)\xi_{\mathbf{p}}^0, \xi_{\mathbf{p}}^0\right) = -\left((a^{-1}(y^0) - a^{-1}(y_h^0))\mathbf{P}^0, \xi_{\mathbf{p}}^0\right). \tag{3.41}$$

Используем неравенство Коши, предположение относительно $a,\ (3.35)$ и (3.4). Мы видим, что

$$\|\boldsymbol{\xi}_{\boldsymbol{p}}^{0}\| \leq C\|(a^{-1})'(\tilde{y})(y^{0}-Y^{0})\boldsymbol{P}^{0}\| \leq C\|a^{-1}\|_{1,\infty}\|\boldsymbol{P}^{0}\|_{0,\infty}\|y^{0}-Y^{0}\| \leq Ch^{2}(\|y_{0}\|_{2}+\|\boldsymbol{p}^{0}\|_{1}). \quad (3.42)$$

Умножив Δt и суммируя по n от 1 до l $(1 \le l \le N)$ в обеих частях (3.40), используя неравенство

$$(a^{-1}(y_{h}^{n}) \partial \xi_{\mathbf{p}}^{n}, \xi_{\mathbf{p}}^{n}) = \frac{1}{\Delta t} \left(a^{-1}(y_{h}^{n}) \xi_{\mathbf{p}}^{n} - a^{-1}(y_{h}^{n}) \xi_{\mathbf{p}}^{n-1}, \xi_{\mathbf{p}}^{n} \right)$$

$$\geq \frac{1}{\Delta t} \left(a^{-1}(y_{h}^{n}) \xi_{\mathbf{p}}^{n}, \xi_{\mathbf{p}}^{n} \right) - \frac{1}{2\Delta t} \left(\| a^{-\frac{1}{2}}(y_{h}^{n}) \xi_{\mathbf{p}}^{n} \|^{2} + \| a^{-\frac{1}{2}}(y_{h}^{n}) \xi_{\mathbf{p}}^{n-1} \|^{2} \right)$$

$$= \frac{1}{2\Delta t} \left(\| a^{-\frac{1}{2}}(y_{h}^{n}) \xi_{\mathbf{p}}^{n} \|^{2} - \| a^{-\frac{1}{2}}(y_{h}^{n-1}) \xi_{\mathbf{p}}^{n-1} \|^{2} \right) + \frac{1}{2} \left(\frac{a^{-1}(y_{h}^{n-1}) - a^{-1}(y_{h}^{n})}{\Delta t} \xi_{\mathbf{p}}^{n-1}, \xi_{\mathbf{p}}^{n-1} \right), \quad (3.43)$$

получим

$$\sum_{n=1}^{l} \|\partial \xi_{y}^{n}\|^{2} \Delta t + \frac{1}{2} \|a^{-\frac{1}{2}}(y_{h}^{l}) \xi_{p}^{l}\|^{2} \leq \frac{1}{2} \|a^{-\frac{1}{2}}(y_{h}^{0}) \xi_{p}^{0}\|^{2} + \sum_{n=1}^{l} \Delta t (f(y^{n}) - f(y_{h}^{n}), \partial \xi_{y}^{n}) + \sum_{n=1}^{l} \Delta t (\partial y^{n} - y_{t}^{n}, \partial \xi_{y}^{n}) - \sum_{n=1}^{l} \Delta t (\partial \eta_{y}^{n}, \partial \xi_{y}^{n}) - \sum_{n=1}^{l} \Delta t \left(\frac{a^{-1}(y_{h}^{n}) - a^{-1}(y_{h}^{n-1})}{\Delta t} \xi_{p}^{n-1}, \xi_{p}^{n}\right) + \frac{1}{2} \sum_{n=1}^{l} \Delta t \left(\frac{a^{-1}(y_{h}^{n}) - a^{-1}(y_{h}^{n-1})}{\Delta t} \xi_{p}^{n-1}, \xi_{p}^{n-1}\right) - \sum_{n=1}^{l} \Delta t \left(\frac{(a^{-1}(y^{n}) - a^{-1}(y_{h}^{n})) P^{n} - (a^{-1}(y^{n-1}) - a^{-1}(y_{h}^{n-1})) P^{n-1}}{\Delta t}, \xi_{p}^{n}\right) =: \sum_{i=1}^{7} Q_{i}. \quad (3.44)$$

Аналогично (3.32)–(3.34) оценим Q_2, Q_3, Q_4 следующим образом:

$$Q_2 \le C \sum_{n=1}^{l} (\|\xi_y^n\|^2 + \|\eta_y^n\|^2) \Delta t + \frac{1}{8} \sum_{n=1}^{l} \|\partial \xi_y^n\|^2 \Delta t, \tag{3.45}$$

$$Q_3 \le C(\Delta t)^2 \|y_{tt}\|_{L^2(L^2)}^2 + \frac{1}{8} \sum_{n=1}^l \|\partial \xi_y^n\|^2 \Delta t, \tag{3.46}$$

$$Q_4 \le C \sum_{n=1}^{l} \|\partial \eta_y^n\|^2 \Delta t + \frac{1}{8} \sum_{n=1}^{l} \|\partial \xi_y^n\|^2 \Delta t.$$
 (3.47)

Заметим, что

$$a^{-1}(y_h^n) - a^{-1}(y_h^{n-1}) = (a^{-1})'(y_h^{n^*})(y_h^n - y_h^{n-1}), \tag{3.48}$$

где $y_h^{n^*}$ расположено между y_h^n и y_h^{n-1} . Для Q_5 из (3.48) и неравенства Коши следует, что

$$Q_{5} = -\sum_{n=1}^{l} \Delta t \left((a^{-1})' (y_{h}^{n^{*}}) \partial y_{h}^{n} \xi_{\mathbf{p}}^{n-1}, \xi_{\mathbf{p}}^{n} \right) = \sum_{n=1}^{l} \Delta t \left((a^{-1})' (y_{h}^{n^{*}}) \partial \xi_{y}^{n} \xi_{\mathbf{p}}^{n-1}, \xi_{\mathbf{p}}^{n} \right) + \sum_{n=1}^{l} \Delta t \left((a^{-1})' (y_{h}^{n^{*}}) \partial \eta_{y}^{n} \xi_{\mathbf{p}}^{n-1}, \xi_{\mathbf{p}}^{n} \right) - \sum_{n=1}^{l} \Delta t \left((a^{-1})' (y_{h}^{n^{*}}) \partial y^{n} \xi_{\mathbf{p}}^{n-1}, \xi_{\mathbf{p}}^{n} \right)$$

$$\leq C \sum_{n=1}^{l} \Delta t \| a^{-1} \|_{1,\infty} (\| \partial \xi_{y}^{n} \| + \| \partial \eta_{y}^{n} \|) \| \xi_{\mathbf{p}}^{n-1} \|_{0,\infty} \| \xi_{\mathbf{p}}^{n} \| +$$

$$C \sum_{n=1}^{l} \Delta t \| a^{-1} \|_{1,\infty} \| \partial y^{n} \|_{0,\infty} \| \xi_{\mathbf{p}}^{n-1} \| \cdot \| \xi_{\mathbf{p}}^{n} \|$$

$$\leq C \sum_{n=1}^{l} \Delta t \| a^{-1} \|_{1,\infty} (\| \partial \xi_{y}^{n} \| + \| \partial \eta_{y}^{n} \|) (\| \mathbf{P}^{n} \|_{0,\infty} + \| \mathbf{p}_{h}^{n} \|_{0,\infty}) \| \xi_{\mathbf{p}}^{n} \| +$$

$$C \sum_{n=1}^{l} \Delta t \| a^{-1} \|_{1,\infty} \| y_{t} \|_{L^{\infty}(L^{\infty})} \| \xi_{\mathbf{p}}^{n-1} \| \cdot \| \xi_{\mathbf{p}}^{n} \|.$$

$$(3.49)$$

Используя (3.49), неравенство Юнга, (2.4), (2.7), (3.13), (3.14), (3.35), (3.37) и (3.42), заключаем, что

$$Q_{5} \leq C \sum_{n=0}^{l} (\|\boldsymbol{P}^{n}\|_{0,\infty}^{2} + \|\boldsymbol{p}_{h}^{n}\|_{0,\infty}^{2} + \|y_{t}\|_{L^{\infty}(L^{\infty})}) \|\boldsymbol{\xi}_{\boldsymbol{p}}^{n}\|^{2} \Delta t \leq C \sum_{n=1}^{l} \|\partial \eta_{y}^{n}\|^{2} \Delta t + \frac{1}{8} \sum_{n=1}^{l} \|\partial \boldsymbol{\xi}_{y}^{n}\|^{2} \Delta t$$

$$\leq \frac{1}{8} \sum_{n=1}^{l} \|\partial \boldsymbol{\xi}_{y}^{n}\|^{2} \Delta t + C(\Delta t + h^{2})^{2}.$$

$$(3.50)$$

Аналогичным образом для Q_6 имеем:

$$Q_6 \le \frac{1}{8} \sum_{n=1}^{l} \|\partial \xi_y^n\|^2 \Delta t + C(\Delta t + h^2)^2.$$
 (3.51)

Наконец, для Q_7 мы видим, что:

$$Q_{7} = -\sum_{n=1}^{l} \Delta t \Big((a^{-1}(y^{n}) - a^{-1}(y_{h}^{n})) \partial \mathbf{P}^{n}, \xi_{\mathbf{p}}^{n} \Big) - \sum_{n=1}^{l} \Delta t \Big(\frac{[(a^{-1})'(y^{n^{*}})(y^{n} - y^{n-1}) - (a^{-1})'(y_{h}^{n^{*}})(y^{n} - y^{n-1})] \mathbf{P}^{n-1}}{\Delta t}, \xi_{\mathbf{p}}^{n} \Big) - \sum_{n=1}^{l} \Delta t \Big((a^{-1})'(y_{h}^{n^{*}})(\partial \eta_{y}^{n} + \partial \xi_{y}^{n}) \mathbf{P}^{n-1}, \xi_{\mathbf{p}}^{n} \Big) =: \sum_{i=1}^{3} J_{i},$$
(3.52)

где мы использовали (3.48) и (3.20).

Теперь оценим J_1, J_2, J_3 соответственно. Для J_1 , используя предположение относительно a, (3.26), неравенство Коши и неравенство Юнга, мы имеем:

$$J_{1} \leq C \sum_{n=1}^{l} \Delta t \|a^{-1}\|_{1,\infty} \|y^{n} - y_{h}^{n}\| \cdot \|\partial \mathbf{P}^{n}\|_{0,\infty} \|\xi_{\mathbf{p}}^{n}\|$$

$$\leq C \sum_{n=1}^{l} \|y^{n} - y_{h}^{n}\|^{2} \Delta t + C \sum_{n=1}^{l} \|\xi_{\mathbf{p}}^{n}\|^{2} \Delta t \leq C(\Delta t + h^{2})^{2} + C \sum_{n=1}^{l} \|\xi_{\mathbf{p}}^{n}\|^{2} \Delta t, \qquad (3.53)$$

где

$$\begin{split} \|\partial \boldsymbol{P}^{n}\|_{0,\infty} &\leq \|\partial(\Pi_{h}\,\boldsymbol{p}^{n}-\boldsymbol{P}^{n})\|_{0,\infty} + \|\partial(\Pi_{h}\,\boldsymbol{p}^{n})\|_{0,\infty} \\ &\leq Ch^{-1}\|\partial(\Pi_{h}\,\boldsymbol{p}^{n}-\boldsymbol{P}^{n})\| + C\|\partial\,\boldsymbol{p}^{n}\|_{0,\infty} \\ &\leq Ch^{-1}(\|\partial(\Pi_{h}\,\boldsymbol{p}^{n}-\boldsymbol{p}^{n})\| + \|\partial(\boldsymbol{p}^{n}-\boldsymbol{P}^{n})\|) + C\|\,\boldsymbol{p}_{t}\|_{L^{\infty}(L^{\infty})} \\ &\leq C(\|\,\boldsymbol{p}_{t}\|_{L^{\infty}(H^{1})} + \|\,\boldsymbol{p}_{t}\|_{L^{\infty}(L^{\infty})} + \|\,\boldsymbol{p}\|_{L^{\infty}(H^{1})} + \|\boldsymbol{y}\|_{L^{\infty}(H^{2})} + \|\boldsymbol{y}_{t}\|_{L^{\infty}(H^{2})}) \leq C, \end{split}$$

где мы использовали неравенство треугольника, обратное неравенство, (2.4), (2.6), (2.7), (3.3) и (3.19).

Для J_2 имеем:

$$J_{2} = -\sum_{n=1}^{l} \Delta t \Big((a^{-1})''(\tilde{y}^{n^{*}}) (y^{n^{*}} - y_{h}^{n^{*}}) \partial y^{n} \mathbf{P}^{n-1}, \xi_{\mathbf{p}}^{n} \Big)$$

$$\leq C \sum_{n=1}^{l} \Delta t (\Delta t + \|y^{n} - y_{h}^{n}\| + \|y^{n-1} - y_{h}^{n-1}\|) \|\xi_{\mathbf{p}}^{n}\|$$

$$\leq C (\Delta t + h^{2})^{2} + C \sum_{n=1}^{l} \|\xi_{\mathbf{p}}^{n}\|^{2} \Delta t, \tag{3.54}$$

где мы использовали предположение относительно a, неравенство Коши, неравенство Юнга, (3.35), (3.26),

$$(a^{-1})'(y^{n^*}) - (a^{-1})'(y_h^{n^*}) = (a^{-1})''(\tilde{y}^{n^*})(y^{n^*} - y_h^{n^*})$$

И

$$\begin{aligned} |y^{n^*} - y_h^{n^*}| &= |y^{n^*} - y^n + y^n - y_h^n + y_h^n - y_h^{n^*}| \\ &\leq |y^{n-1} - y^n| + |y^n - y_h^n| + |y_h^n - y^n| + |y^n - y^{n-1}| + |y^{n-1} - y_h^{n-1}| \\ &= 2|y^{n-1} - y^n| + 2|y^n - y_h^n| + |y^{n-1} - y_h^{n-1}|. \end{aligned}$$

Для J_3 из неравенства Коши, неравенства Юнга, предположения относительно a, (3.14) и (3.35) следует, что:

$$J_{3} \leq C \sum_{n=1}^{l} \Delta t \|a^{-1}\|_{1,\infty} (\|\partial \eta_{y}^{n}\| + \|\partial \xi_{y}^{n}\|) \|\mathbf{P}^{n-1}\|_{0,\infty} \|\xi_{\mathbf{p}}^{n}\|$$

$$\leq C \sum_{n=1}^{l} \|\partial \eta_{y}^{n}\|^{2} \Delta t + \frac{1}{8} \sum_{n=1}^{l} \|\partial \xi_{y}^{n}\|^{2} \Delta t + C \sum_{n=1}^{l} \|\xi_{\mathbf{p}}^{n}\|^{2} \Delta t$$

$$\leq C (\Delta t + h^{2})^{2} + \frac{1}{8} \sum_{n=1}^{l} \|\partial \xi_{y}^{n}\|^{2} \Delta t + C \sum_{n=1}^{l} \|\xi_{\mathbf{p}}^{n}\|^{2} \Delta t. \tag{3.55}$$

Таким образом, из (3.52)–(3.55) и (3.37) видно, что

$$Q_7 \le C(\Delta t + h^2)^2 + \frac{1}{8} \sum_{n=1}^{l} \|\partial \xi_y^n\|^2 \Delta t.$$
 (3.56)

Взяв $oldsymbol{v}_h =
abla \xi_y^n$ в (3.27), легко получим

$$\|\nabla \xi_{y}^{n}\| \le C\|\xi_{p}^{n}\| + C\|y^{n} - y_{h}^{n}\|. \tag{3.57}$$

Теперь, объединив (2.4), (2.7), (3.14), (3.44)–(3.47), (3.50), (3.51), (3.56), (3.57), неравенство Пуанкаре с неравенством треугольника, завершим доказательство теоремы.

Замечание. Мы использовали ограничение $\|\boldsymbol{p}_h^n\|_{0,\infty} \leq C$ без доказательства в (3.50). Обычно это доказывается анализом устойчивости. Аналогичные приложения можно найти в [4, 8].

4. Численные эксперименты

Представим один численный пример для проверки априорных оценок ошибки, полученных в пункте 3 численно. В следующем примере мы используем область $\Omega=(0,1)\times(0,1)$ и T=1.

Пример. Пусть $a(y) = e^y$. Выберем g(x,t) таким образом, что точное решение имеет следующий вид:

$$y(x,t) = \sin(\pi t)\sin(\pi x_1)\sin(\pi x_2).$$

Тогда $f(y) = y^3 + g(x,t)$ и явная формулировка g(x,t) такая:

$$g(x,t) = \pi \cos(\pi t) \sin(\pi x_1) \sin(\pi x_2) - \pi^2 \sin(\pi t) e^{\sin(\pi t) \sin(\pi x_1) \sin(\pi x_2)} (\sin(\pi t) (\cos^2(\pi x_1) \sin^2(\pi x_2) + \sin^2(\pi x_1) \cos^2(\pi x_2)) - 2\sin(\pi x_1) \sin(\pi x_2)) - (\sin(\pi t) \sin(\pi x_1) \sin(\pi x_2))^3.$$

В таблице 1 сначала пусть $\Delta t = h^2$; покажем ошибки $\|y^{N/2} - y_h^{N/2}\|$. Затем возьмем $\Delta t = h$ и представим ошибки $\|\nabla (y^{N/2} - y_h^{N/2})\|$ и $\|\boldsymbol{p}^{N/2} - \boldsymbol{p}_h^{N/2}\|$ в табл. 2. Табл. 1 и 2 также показывают порядок сходимости этих ошибок. Теоретические результаты представлены в табл. 1 и 2. Наконец, на рисунке 1 показаны профили точного решения y и численного решения на 64×64 сетке при t = 0.5. Кроме того, профиль ошибки $|y^{N/2} - y_h^{N/2}|$ показан во всех вершинах 64×64 треугольной сетки на рис. 2.

Таблица 1. Ошибки и порядки сходимости $\|y^{N/2} - y_h^{N/2}\|$ при $\Delta t = h^2$

h	Δt	$\left\ y^{N/2}-y_h^{N/2}\right\ $	Rate
1/4	1/16	6.8756e-2	_
1/6	1/36	3.2673e-2	1.83
1/8	1/64	1.9060e-2	1.87
1/10	1/100	1.2382e-2	1.93
1/12	1/144	8.6341e-3	1.98
1/14	1/196	6.3379e-3	2.01
1/16	1/256	4.8383e-3	2.02

$h = \Delta t$	$\left\ \nabla \big(y^{N/2}-y_h^{N/2}\big)\right\ $	Rate	$\left\ oldsymbol{p}^{N/2} - oldsymbol{p}_h^{N/2} ight\ $	Rate
1/8	$4.3348e{-1}$	_	$6.8311e{-1}$	-
1/16	$2.1969e{-1}$	0.98	$3.4581e{-1}$	0.98
1/32	1.1116e-1	0.98	$1.7350e{-1}$	1.00
1/64	5.6137e-2	0.99	8.6859e-2	1.00

Таблица 2. Ошибки и порядки сходимости $\|\nabla (y^{N/2} - y_h^{N/2})\|$ и $\|\pmb{p}^{N/2} - \pmb{p}_h^{N/2}\|$ при $\Delta t = h$

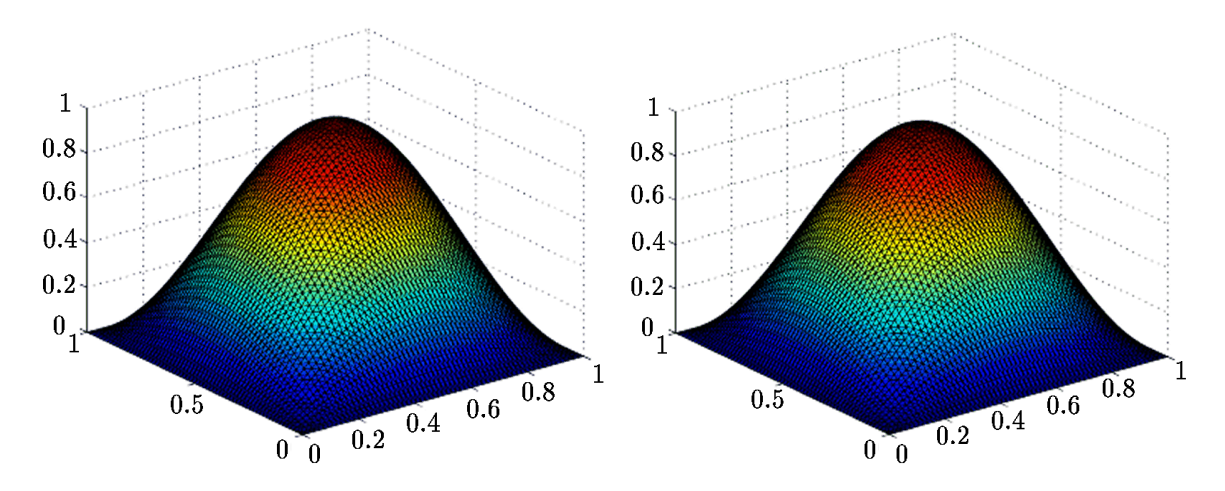


Рис. 1. Профили точного решения y (слева) и численного решения (справа) на 64×64 треугольной сетке при t=0.5 ($\Delta t=1/64$)

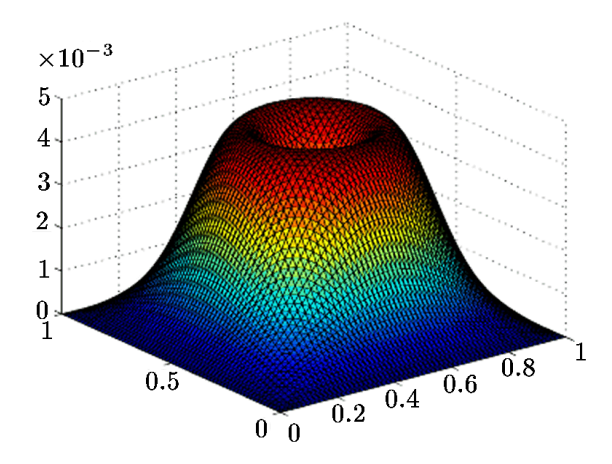


Рис. 2. Профиль ошибки $|y^{N/2}-y_h^{N/2}|$ во всех вершинах на 64×64 треугольной сетке ($\Delta t=1/64$)

5. Выводы

В данной статье получены оптимальные априорные оценки ошибки P_0^2 – P_1 смешанного метода конечных элементов для нелинейного параболического уравнения. Представляется, что теоретические и численные результаты для этого класса задач являются новыми в литературе. В нашей следующей работе мы рассмотрим апостериорные оценки ошибки и построим адаптивные смешанные конечно-элементные алгоритмы. Кроме того, мы обсудим двухсеточный алгоритм для задачи (1.1)–(1.3).

Литература

- 1. **Brezzi F.** On the existence, uniqueness and approximation of saddle-point problems arising from Lagrangian multipliers // R.A.I.R.O. Anal. Numer. 1974. Vol. 8. P. 129–151.
- Brezzi F. and Fortin M. Mixed and Hybrid Finite Element Methods. New York: Springer-Verlag, 1991.
- 3. **Boffi D., Brezzi F. and Fortin M.** Mixed Finite Element Methods and Applications. Heidelberg: Springer, 2013.
- 4. Chen L. and Chen Y. Two-grid method for nonlinear reaction-diffusion equations by mixed finite element methods // J. Sci. Comput. 2011. Vol. 49, № 3. P. 383–401.
- 5. Cannon J.R. and Lin Y.P. A priori L^2 error estimates for finite-element methods for nonlinear diffusion equations with memory // SIAM J. Numer. Anal. -1990. Vol. 27, No 3. P. 595–607.
- 6. Chen S.C. and Chen H.R. New mixed element schemes for a second-order elliptic problem // Math. Numer. Sin. -2010. Vol. 32, N2. P. 213-218.
- 7. Ciarlet P.G. The Finite Element Method for Elliptic Problems.— Amsterdam: North Holland, 1978.
- 8. Dawson C.N., Wheeler M.F. and Woodward C.S. A two-grid finite difference scheme for nonlinear parabolic equations // SIAM J. Numer. Anal. 1998. Vol. 35. P. 435–452.
- 9. Eriksson K. and Johnson C. Adaptive finite element methods for parabolic problems IV: nonlinear problems // SIAM J. Numer. Anal. -1995.- Vol. 32, No 6. P. 1729–1749.
- 10. **Grisvard P.** Elliptic Problems in Nonsmooth Domains.—Boston–London–Melbourne: Pitman, 1985.
- 11. **Garcia S.M.F.** Improved error estimates for mixed finite-element approximations for nonlinear parabolic equations: the continuous-time case // Numer. Methods Partial Differ. Eq. 1994. Vol. 10, \mathbb{N}° 2. P. 129–147.
- 12. **Garcia S.M.F.** Improved error estimates for mixed finite-element approximations for nonlinear parabolic equations: the discrete-time case // Numer. Methods Partial Differ. Eq. -1994. Vol. 10, N = 2. P. 149-169.
- 13. Hou T., Jiang W., Yang Y. and Leng H. Two-grid P_0^2 – P_1 mixed finite element methods combined with Crank-Nicolson scheme for a class of nonlinear parabolic equations // Appl. Numer. Math. -2019. Vol. 137. P. 136-150.
- 14. Nie Y. and Thomée V. A lumped mass finite-element method with quadrature for a non-linear parabolic problem // IMA J. Numer. Anal. -1985. Vol. 5, N = 4 P. 371 -396.
- 15. Pani A.K. and Fairweather G. H^1 -Galerkin mixed finite element methods for parabolic partial integro-differential equations // IMA J. Numer. Anal. -2002. Vol. 22. P. 231–252.
- 16. Pehlivanov A.I., Carey G.F. and Vassilevski P.S. Least-squares mixed finite element methods for non-selfadjoint elliptic problems: I. Error estimates // Numer. Math. -1996. Vol. 72, N = 4. P. 501-522.
- 17. Quarteroni A. and Valli A. Numerical Approximation of Partial Differential Equations.—Springer, 1997.
- 18. Russell T.F. Time stepping along characteristics with incomplete iteration for a Galerkin approximation of miscible displacement in porous media // SIAM J. Numer. Anal. 1985. Vol. 22, \mathbb{N}° 5. P. 970–1013.
- 19. Shi D., Yan F. and Wang J. Unconditional superconvergence analysis of a new mixed finite element method for nonlinear Sobolev equation // Appl. Math. Comput. -2016. Vol. 274, N = 1.-P. 182-194.

- 20. Shi D., Yan F. and Wang J. Unconditionally superclose analysis of a new mixed finite element method for nonlinear parabolic equation // J. Comput. Math. -2019.- Vol. 37, N° 1. P. 1–17.
- 21. **Shi D. and Yang H.** Unconditionally optimal error estimates of a new mixed FEM for nonlinear Schrödinger equations // Adv. Comput. Math. 2019. Vol. 45. P. 3173—3194.
- 22. **Shi F., Yu J.P. and Li K.T.** A new stabilized mixed finite-element method for Poisson equation based on two local Gauss integrations for linear element pair // Int. J. Comput. Math.—2011.— Vol. 88.—P. 2293–2305.
- 23. **Thomée V.** Galerkin Finite Element Methods for Parabolic Problems. Berlin: Springer-Verlag, 1984.
- 24. **Wu L. and Allen M.B.** A two-grid method for mixed finite-element solution of reaction-diffusion equations // Numer. Methods Partial Differ. Eq. 1999. Vol. 15. P. 317–332.
- 25. Weng Z., Feng X. and Huang P. A new mixed finite element method based on the Crank–Nicolson scheme for the parabolic problems // Appl. Math. Model. 2012. Vol. 36. P. 5068–5079.

Поступила в редакцию 30 июня 2020 г. После исправления 18 сентября 2020 г. Принята к печати 14 июля 2021 г.